

УДК 539.194

# Оператор кинетической энергии для линейных молекул типа $A_2B_2$ в полисферических неортогональных внутренних координатах

А.Е. Протасевич<sup>✉</sup>, А.В. Никитин\*

Институт оптики атмосферы им. В.Е. Зуева СО РАН  
634055, г. Томск, пл. Академика Зуева, 1

Поступила в редакцию 23.03.2023 г.;  
после доработки 15.05.2023 г.;  
принята к печати 23.05.2023 г.

Получена форма колебательно-вращательного оператора кинетической энергии для линейных симметрических молекул типа  $A_2B_2$  в полисферических неортогональных внутренних (длины связей и углы между связями) координатах. Неортогональные координаты имеют преимущества при вычислении волновых функций тяжелых линейных молекул, например  $C_2F_2$ ,  $C_2Cl_2$ , а также упрощают вычисление интенсивности линий колебательно-вращательных спектров молекул указанного типа. Данное исследование является продолжением нашей работы [1], в которой была получена форма оператора кинетической энергии в ортогональных координатах. Для проверки выведенных уравнений выполнен расчет нижних колебательно-вращательных уровней энергии молекулы ацетилена.

**Ключевые слова:** линейные молекулы, ацетилен, оператор кинетической энергии, неортогональные координаты, полисферические координаты; linear molecule, acetylene, kinetic energy operator, non-orthogonal coordinates, polyspherical coordinates.

## Введение

В продолжение нашей работы [1] мы представляем здесь добавку (дополнительные члены оператора кинетической энергии, равные нулю в случае ортогональных координат и не равные нулю в неортогональных внутренних координатах) к ортогональной части оператора кинетической энергии для линейных симметрических молекул типа  $A_2B_2$  в полисферических координатах. Под внутренними координатами подразумеваются длины связей и углы между связями, как, например, для молекулы ацетилена в [2]. Знание формы оператора кинетической энергии в неортогональных внутренних координатах (в отличие от ортогональных координат) необходимо, например, для расчета интенсивностей линий в колебательно-вращательных спектрах молекулы ацетилена [3]. Применение ортогональных координат в этом случае затруднительно, поскольку поверхность дипольного момента задается во внутренних координатах, а ее пересчет к ортогональным значительно сложнее, чем использование внутренних неортогональных координат для оператора кинетической энергии. В случае, когда масса атома В сравнима с массой атома А, ортогональные координаты применять сложно, в частности из-за проблем с параметризацией поверхности потенции-

альной энергии (ППЭ). Причина в том, что ортогональные координаты становятся далекими от координат химических связей молекулы, например для молекул  $1-C_3H$  (линейная конфигурация  $C_3H$ ),  $C_2F_2$ ,  $C_2Cl_2$ . Для перечисленных молекул применение неортогональных координат заметно проще. Кроме того неортогональные координаты позволяют точнее вычислять изотопические сдвиги в спектрах молекул.

Целью настоящей работы является получение симметричной формы оператора кинетической энергии в полисферических неортогональных внутренних координатах. Полученный оператор позволяет, как и в [1], эффективно использовать контрактацию волновых функций и полную симметрию молекулы. Для тестирования оператора кинетической энергии был сделан расчет нижних уровней энергии молекулы ацетилена.

## Неортогональная добавка к оператору кинетической энергии для молекулы типа $A_2B_2$ и ее действие на исходные волновые функции

Симметричная форма оператора кинетической энергии в молекулярно-фиксированной системе (МФС) для молекулы типа  $A_2B_2$  в полисферических неортогональных координатах может быть получена из формулы (86) работы [4]. При этом неортогональные координаты определяются выражениями

\* Александр Евгеньевич Протасевич (A.E.Protasevich@iao.ru); Андрей Владимирович Никитин (avn@iao.ru).

гональная добавка оператора кинетической энергии в обозначениях работы [4] будет иметь вид

$$(BF)\hat{T}^{\text{non}} - (BF)\hat{T}^{\text{ortho}} = F_{R1}^* \sum_{\tau=x,y,z} \hat{\pi}_{i\tau}^+ \hat{\pi}_{R\tau}^- + F_{R2}^* \sum_{\tau=x,y,z} \hat{\pi}_{2\tau}^+ \hat{\pi}_{R\tau}^- + F_{12}^* \sum_{\tau=x,y,z} \hat{\pi}_{2\tau}^+ \hat{\pi}_{1\tau}^-, \quad (1)$$

где  $(\hat{\pi}_{ix}, \hat{\pi}_{iy}, \hat{\pi}_{iz})$  — компоненты операторов импульса вдоль координатных осей МФС;  $(\hat{\pi}_{ix}^+, \hat{\pi}_{iy}^+, \hat{\pi}_{iz}^+)$  — эрмитово-сопряженные операторы;  $F_{ij}^*$  — кинетические константы связи. В случае внутренних координат индексы 1 и 2 относятся к межъядерным векторам  $\mathbf{d}_1$  и  $\mathbf{d}_2$ , соединяющим ядра А и В для двух групп ядер (AB), образующих молекулу  $A_2B_2$ ; индекс  $R$  относится к межъядерному вектору  $\mathbf{R}$ , соединяющему два ядра А молекулы  $A_2B_2$ . Для внутренних координат  $F_{12}^* = 0$  [2]. Переходя к введенным в [1] операторам и базисным волновым функциям, члены, входящие в формулу (1), можно представить в виде

$$\begin{aligned} & \hat{\pi}_{jx}^+ \hat{\pi}_{Rx} + \hat{\pi}_{jy}^+ \hat{\pi}_{Ry} = \\ & = \frac{1}{2R} \left\{ \left( \sin \theta_j e^{-i\phi_j} \left[ \frac{1}{d_j} \hat{l}_{jz} + \hbar \frac{\partial}{\partial d_j} \right] - \frac{1}{d_j} \cos \theta_j \hat{l}_j^- \right) \times \right. \\ & \quad \times (\hat{J}^- - \hat{l}_2^+ - \hat{l}_1^+) + \\ & + \left. \left( \sin \theta_j e^{i\phi_j} \left[ \frac{1}{d_j} \hat{l}_{jz} - \hbar \frac{\partial}{\partial d_j} \right] - \frac{1}{d_j} \cos \theta_j \hat{l}_j^+ \right) (\hat{J}^+ - \hat{l}_2^- - \hat{l}_1^-) \right\} \\ & \quad (j=1,2), \end{aligned} \quad (2)$$

$$\hat{\pi}_{jz}^+ \hat{\pi}_{Rz} = i\hbar \left( \cos \theta_j \frac{\partial}{\partial d_j} - \frac{1}{d_j} \sin \theta_j \frac{\partial}{\partial \theta_j} \right) i\hbar \frac{\partial}{\partial R} \quad (j=1,2), \quad (3)$$

где  $\hbar$  — постоянная Планка;  $i$  — мнимая единица;  $d_1$ ,  $d_2$  и  $R$  — длины межъядерных векторов  $\mathbf{d}_1$ ,  $\mathbf{d}_2$  и  $\mathbf{R}$  соответственно;  $\theta_j$  — угол между векторами  $\mathbf{R}$  и  $\mathbf{d}_j$  ( $j=1,2$ );  $\phi_1 = \gamma$  — один из углов Эйлера ( $\alpha, \beta, \gamma$ ), определяющий ориентацию МФС (поворот вокруг оси  $Z$ , направленной вдоль вектора  $\mathbf{R}$ , в МФС) относительно лабораторной системы;  $\phi_2 = \gamma + \chi_2$ ,  $\chi_2$  — торсионный угол (угол между плоскостями, содержащими векторы  $\{\mathbf{R}\}$  и  $\{\mathbf{d}_1\}$  и  $\{\mathbf{R}\}$  и  $\{\mathbf{d}_2\}$ ), а операторы имеют вид [1]:

$$\hat{l}_{jz} = -i\hbar \frac{\partial}{\partial \phi_j}, \quad \hat{l}_j^\pm = -\exp(\pm i\phi_j) \left( \mp \hbar \frac{\partial}{\partial \theta_j} + \operatorname{ctg} \theta_j \hat{l}_{jz} \right) \quad (j=1,2),$$

$$\hat{J}^\pm \equiv \exp(\mp i\phi_1) \hat{J}^\pm = \operatorname{ctg} \beta \hat{J}_z \mp \hbar \frac{\partial}{\partial \beta} + i\hbar \frac{1}{\sin \beta} \frac{\partial}{\partial \alpha}. \quad (4)$$

Оператор кинетической энергии во внутренних неортогональных полисферических координатах представляет собой сумму полученной в [1] на основе результатов [5] ортогональной части (с введенной здесь интерпретацией межъядерных векто-

ров, углов и новыми кинетическими константами связи) и неортогональной добавки, представленной в данном разделе.

Матричные элементы от входящих в выражение (2) операторов по определенным в [1] (но с новой интерпретацией углов) базисным волновым функциям:

$$|J, M, l_1, m_1, l_2, m_2\rangle = \sqrt{2\pi} Y_{l_1 m_1}(\theta_1, \phi_1) Y_{l_2 m_2}(\theta_2, \phi_2) |J, m_1 + m_2, M\rangle_{\gamma=0}, \quad (5)$$

где  $Y_{lm}(\theta, \phi)$  — сферические функции [6],  $|J, K, M\rangle \equiv \sqrt{\frac{2J+1}{8\pi^2}} \exp(iM\alpha) d_{MK}^J(\beta) \exp(iK\gamma)$  — функции симметричного волчка (см. Приложение, формулы (П1)–(П7)).

### Действие неортогональной добавки к оператору кинетической энергии для молекулы типа $A_2B_2$ на симметризованные по четности волновые функции

Рассмотрим действия операторов и результаты вычисления матричных элементов в адаптированном по четности относительно инверсии пространства базисе. Этот базис, построенный на основе базисных волновых функций (5), приведен в [1] и имеет вид

$$|J, M, p, l_1, m_1, l_2, m_2\rangle \equiv N_{m_1 m_2} (|J, M, l_1, m_1, l_2, m_2\rangle + (-1)^{J+p} |J, M, l_1, -m_1, l_2, -m_2\rangle), \quad (6)$$

$$\text{где } N_{m_1 m_2} \equiv \frac{1}{\sqrt{2(1 + \delta_{m_1 0} \delta_{m_2 0})}}.$$

При инверсии пространства  $E^*$  выполняется равенство

$$\begin{aligned} E^* |J, M, p, l_1, m_1, l_2, m_2\rangle &= \\ &= (-1)^p |J, M, p, l_1, m_1, l_2, m_2\rangle. \end{aligned} \quad (7)$$

Действие оператора  $(\hat{l}_j^+ \hat{l}_j^- + \hat{l}_j^- \hat{l}_j^+)$  на базисные волновые функции (6) выражается формулой

$$\begin{aligned} & (\hat{l}_j^+ \hat{l}_j^- + \hat{l}_j^- \hat{l}_j^+) |J, M, p, l_1, m_1, l_2, m_2\rangle = \\ & = 2\hbar^2 (l_j(l_j + 1) - m_j^2) |J, M, p, l_1, m_1, l_2, m_2\rangle \quad (j=1,2), \end{aligned} \quad (8)$$

а действие оператора  $\cos \theta_j$  — формулой [6]:

$$\begin{aligned} \cos \theta_j |J, M, p, l_1, m_1, l_2, m_2\rangle &= \sqrt{\frac{(l_j - m_j + 1)(l_j + m_j + 1)}{(2l_j + 1)(2l_j + 3)}} \times \\ &\times |J, M, p, l_1 + \delta_{1j}, m_1, l_2 + \delta_{2j}, m_2\rangle + \sqrt{\frac{(l_j - m_j)(l_j + m_j)}{(2l_j - 1)(2l_j + 1)}} \times \\ &\times |J, M, p, l_1 - \delta_{1j}, m_1, l_2 - \delta_{2j}, m_2\rangle \quad (j=1,2). \end{aligned} \quad (9)$$

Матричные элементы от операторов (2) и (3) по базисным волновым функциям (6) выражаются явно через матричные элементы, формулы для которых приведены в Приложении ((П8)–(П13)). Базис (6) удобен для проверки вычислений, но в реальных расчетах для ацетилена применяется более сложный базис, приведенный в [7].

## Вычисление колебательно-вращательных уровней ацетилена

Для тестирования полученных формул были проведены расчеты нижних колебательных уровней молекулы ацетилена. В табл. 1 приводится сравнение полученных результатов расчетов нескольких нижних колебательных уровней молекулы  $^{12}\text{C}_2\text{H}_2$

в полисферических неортогональных внутренних координатах с референсным расчетом в ортогональных координатах Якоби [1]. В качестве радиальных базисных волновых функций мы использовали собственные функции осцилляторов Морзе. Как видно из табл. 1, расчет в неортогональных координатах воспроизводит расчет в ортогональных: различие по абсолютной величине не превышает  $0,35 \text{ cm}^{-1}$  при использовании базисных волновых функций как с  $l_1 \leq 22$ ,  $l_2 \leq 22$ ,  $v_R \leq 6$ ,  $v_{d_1} \leq 3$ ,  $v_{d_2} \leq 3$ , так и с  $l_1 \leq 28$ ,  $l_2 \leq 28$ ,  $v_R \leq 6$ ,  $v_{d_1} \leq 3$ ,  $v_{d_2} \leq 3$  ( $v_R$ ,  $v_{d_1}$ ,  $v_{d_2}$  – квантовые числа собственных функций осцилляторов Морзе для радиальных координат  $R$ ,  $d_1$ ,  $d_2$ ). При этом сходимость уровней энергии при решении задачи в неортогональных координатах почти такая же, как и в ортогональных.

Таблица 1

**Сравнение результатов расчетов в полисферических неортогональных внутренних координатах и ортогональных координатах (вычисленные  $E^{\text{неопт}}$ ,  $E^{\text{опт}}$  положения центров полос молекулы  $\text{C}_2\text{H}_2$  и их разность  $\Delta E = E^{\text{неопт}} - E^{\text{опт}}$  для трех случаев)**

Идентификация по [8] и [9]*		$l_1 \leq 22$ , $l_2 \leq 22$ , $v_R \leq 5$ , $v_{d_1} \leq 2$ , $v_{d_2} \leq 2$			$l_1 \leq 22$ , $l_2 \leq 22$ , $v_R \leq 6$ , $v_{d_1} \leq 3$ , $v_{d_2} \leq 3$			$l_1 \leq 28$ , $l_2 \leq 28$ , $v_R \leq 6$ , $v_{d_1} \leq 3$ , $v_{d_2} \leq 3$		
( $v_1 v_2 v_3 v_4^{l_1} v_5^{l_2}$ ) <sup>K</sup>	$e/f$	$E^{\text{неопт}}$ , $\text{cm}^{-1}$	$E^{\text{опт}}$ , $\text{cm}^{-1}$	$\Delta E$ , $\text{cm}^{-1}$	$E^{\text{неопт}}$ , $\text{cm}^{-1}$	$E^{\text{опт}}$ , $\text{cm}^{-1}$	$\Delta E$ , $\text{cm}^{-1}$	$E^{\text{неопт}}$ , $\text{cm}^{-1}$	$E^{\text{опт}}$ , $\text{cm}^{-1}$	$\Delta E$ , $\text{cm}^{-1}$
1	2	3	4	5	6	7	8	9	10	11
(0 0 0 2 <sup>0</sup> 0 <sup>0</sup> ) <sup>0</sup>	e	1228,067	1228,125	-0,057	1228,072	1228,123	-0,051	1228,072	1228,123	-0,051
(0 0 0 1 <sup>1</sup> 1 <sup>-1</sup> ) <sup>0</sup>	e	1326,945	1327,047	-0,102	1326,949	1327,046	-0,097	1326,949	1327,046	-0,097
(0 0 0 1 <sup>1</sup> 1 <sup>-1</sup> ) <sup>0</sup>	f	1338,887	1339,001	-0,114	1338,892	1338,999	-0,107	1338,892	1338,999	-0,107
(0 0 0 0 <sup>0</sup> 2 <sup>0</sup> ) <sup>0</sup>	e	1449,204	1449,406	-0,202	1449,206	1449,403	-0,198	1449,206	1449,403	-0,198
(0 1 0 0 <sup>0</sup> 0 <sup>0</sup> ) <sup>0</sup>	e	1974,213	1973,924	0,289	1974,032	1973,920	0,112	1974,032	1973,920	0,112
	e	2482,041	2482,128	-0,087	2482,049	2482,127	-0,078	2482,049	2482,126	-0,076
(0 0 0 3 <sup>1</sup> 1 <sup>-1</sup> ) <sup>0</sup>	e	2557,626	2557,724	-0,098	2557,634	2557,724	-0,090	2557,634	2557,722	-0,088
(0 0 0 3 <sup>-1</sup> 1 <sup>1</sup> ) <sup>0</sup>	f	2580,511	2580,615	-0,105	2580,519	2580,613	-0,094	2580,519	2580,613	-0,094
(0 0 0 2 <sup>2</sup> 2 <sup>-2</sup> ) <sup>0</sup>	e	2646,448	2646,602	-0,154	2646,455	2646,602	-0,147	2646,455	2646,600	-0,145
(0 0 0 2 <sup>-2</sup> 2 <sup>2</sup> ) <sup>0</sup>	f	2658,784	2658,947	-0,163	2658,792	2658,945	-0,154	2658,791	2658,945	-0,153
	e	2681,254	2681,479	-0,226	2681,261	2681,477	-0,216	2681,261	2681,476	-0,215
(0 0 0 1 <sup>1</sup> 3 <sup>-1</sup> ) <sup>0</sup>	e	2757,287	2757,519	-0,232	2757,293	2757,518	-0,225	2757,293	2757,516	-0,223
(0 0 0 1 <sup>-1</sup> 3 <sup>1</sup> ) <sup>0</sup>	f	2781,942	2782,180	-0,238	2781,949	2782,177	-0,228	2781,949	2782,177	-0,228
(0 0 0 0 <sup>0</sup> 4 <sup>0</sup> ) <sup>0</sup>	e	2880,352	2880,615	-0,263	2880,356	2880,612	-0,256	2880,356	2880,611	-0,256
	e	3178,117	3178,001	0,116	3177,980	3177,990	-0,010	3177,980	3177,990	-0,010
(0 1 0 1 <sup>1</sup> 1 <sup>-1</sup> ) <sup>0</sup>	e	3281,936	3281,629	0,307	3281,471	3281,473	-0,003	3281,471	3281,473	-0,003
(0 0 1 0 <sup>0</sup> 0 <sup>0</sup> ) <sup>0</sup>	e	3295,086	3294,736	0,350	3294,569	3294,558	0,011	3294,569	3294,558	0,011
(0 1 0 1 <sup>1</sup> 1 <sup>-1</sup> ) <sup>0</sup>	f	3298,670	3298,530	0,140	3298,536	3298,519	0,017	3298,536	3298,519	0,017
(1 0 0 0 <sup>0</sup> 0 <sup>0</sup> ) <sup>0</sup>	e	3374,171	3373,428	0,742	3373,451	3373,111	0,340	3373,451	3373,111	0,340
(0 1 0 0 <sup>0</sup> 2 <sup>0</sup> ) <sup>0</sup>	e	3420,274	3420,251	0,024	3420,124	3420,236	-0,111	3420,124	3420,236	-0,111
	e	3760,580	3760,718	-0,138	3760,591	3760,718	-0,128	3760,590	3760,706	-0,116
(0 0 0 5 <sup>1</sup> 1 <sup>-1</sup> ) <sup>0</sup>	e	3813,724	3813,880	-0,156	3813,734	3813,881	-0,147	3813,731	3813,835	-0,104
(0 0 0 5 <sup>1</sup> 1 <sup>-1</sup> ) <sup>0</sup>	f	3845,495	3845,610	-0,115	3845,505	3845,609	-0,104	3845,505	3845,604	-0,099
	e	3879,622	3879,869	-0,247	3879,633	3879,871	-0,238	3879,626	3879,790	-0,164
	f	3902,265	3902,403	-0,138	3902,276	3902,403	-0,127	3902,275	3902,388	-0,113
(0 2 0 0 <sup>0</sup> 0 <sup>0</sup> ) <sup>0</sup>	e	3934,338	3933,195	1,143	3933,415	3933,151	0,264	3933,415	3933,151	0,264
	e	3935,479	3935,614	-0,136	3935,489	3935,613	-0,124	3935,489	3935,608	-0,119
	e	3958,568	3958,773	-0,204	3958,578	3958,774	-0,195	3958,570	3958,690	-0,120
	f	3971,661	3971,818	-0,157	3971,672	3971,818	-0,146	3971,671	3971,803	-0,132
	e	3993,537	3993,799	-0,263	3993,547	3993,799	-0,252	3993,545	3993,779	-0,234
	f	4027,733	4027,892	-0,159	4027,744	4027,890	-0,147	4027,743	4027,886	-0,143
	e	4058,762	4058,728	0,034	4058,770	4058,728	0,042	4058,760	4058,646	0,114
	f	4084,095	4084,296	-0,201	4084,105	4084,296	-0,191	4084,104	4084,282	-0,179
	e	4119,917	4120,168	-0,250	4119,927	4120,166	-0,239	4119,926	4120,161	-0,234
	e	4170,193	4170,472	-0,278	4170,201	4170,471	-0,270	4170,193	4170,422	-0,228
	f	4209,724	4209,985	-0,260	4209,733	4209,983	-0,250	4209,732	4209,978	-0,246
	e	4294,406	4294,688	-0,282	4294,412	4294,686	-0,274	4294,409	4294,671	-0,262

Окончание табл. 1

1	2	3	4	5	6	7	8	9	10	11
$(0\ 1\ 0\ 3^1\ 1^{-1})^0$	<i>e</i>	4410,624	4410,569	0,055	4410,499	4410,543	-0,043	4410,499	4410,542	-0,043
$(0\ 0\ 1\ 2^0\ 0^0)^0$	<i>e</i>	4486,789	4486,630	0,159	4486,352	4486,407	-0,055	4486,352	4486,406	-0,054
$(0\ 1\ 0\ 3^{-1}\ 1^1)^0$	<i>f</i>	4506,016	4505,844	0,173	4505,595	4505,635	-0,041	4505,595	4505,635	-0,040
$(0\ 1\ 0\ 2^2\ 2^{-2})^0$	<i>f</i>	4517,395	4517,328	0,066	4517,281	4517,305	-0,023	4517,281	4517,304	-0,023
$(0\ 0\ 1\ 1^1\ 1^{-1})^0$	<i>e</i>	4568,813	4568,583	0,230	4568,175	4568,150	0,025	4568,175	4568,150	0,025
$(0\ 0\ 1\ 1^1\ 1^{-1})^0$	<i>e</i>	4588,774	4588,638	0,136	4588,420	4588,492	-0,072	4588,419	4588,490	-0,071
$(0\ 0\ 1\ 1^1\ 1^{-1})^0$	<i>f</i>	4598,117	4597,999	0,118	4597,721	4597,805	-0,084	4597,721	4597,804	-0,084
$(0\ 0\ 1\ 1^1\ 1^{-1})^0$	<i>e</i>	4608,928	4608,747	0,181	4608,396	4608,494	-0,098	4608,396	4608,493	-0,098
$(0\ 0\ 1\ 1^1\ 1^{-1})^0$	<i>f</i>	4616,714	4616,581	0,134	4616,250	4616,334	-0,084	4616,250	4616,333	-0,084
$(0\ 0\ 0\ 1^1\ 1^{-1})^0$	<i>e</i>	4627,205	4627,264	-0,058	4627,095	4627,240	-0,145	4627,095	4627,240	-0,144
$(0\ 0\ 0\ 1^1\ 1^{-1})^0$	<i>e</i>	4673,967	4673,603	0,363	4673,284	4673,174	0,110	4673,284	4673,174	0,110
$(0\ 0\ 0\ 1^1\ 1^{-1})^0$	<i>f</i>	4688,527	4688,160	0,367	4687,875	4687,752	0,123	4687,875	4687,752	0,123
$(0\ 0\ 0\ 1^1\ 3^{-1})^0$	<i>e</i>	4710,579	4710,544	0,035	4710,246	4710,411	-0,165	4710,245	4710,409	-0,163
$(0\ 0\ 0\ 1^0\ 2^0)^0$	<i>e</i>	4727,984	4727,840	0,145	4727,372	4727,533	-0,162	4727,371	4727,533	-0,161

Среднеквадратическое от  $\Delta E$  (RMS)

$$\sigma = 0,264 \text{ cm}^{-1}$$

$$\sigma = 0,157 \text{ cm}^{-1}$$

$$\sigma = 0,150 \text{ cm}^{-1}$$

\* Идентификация уровней по [9] выделена полужирным.

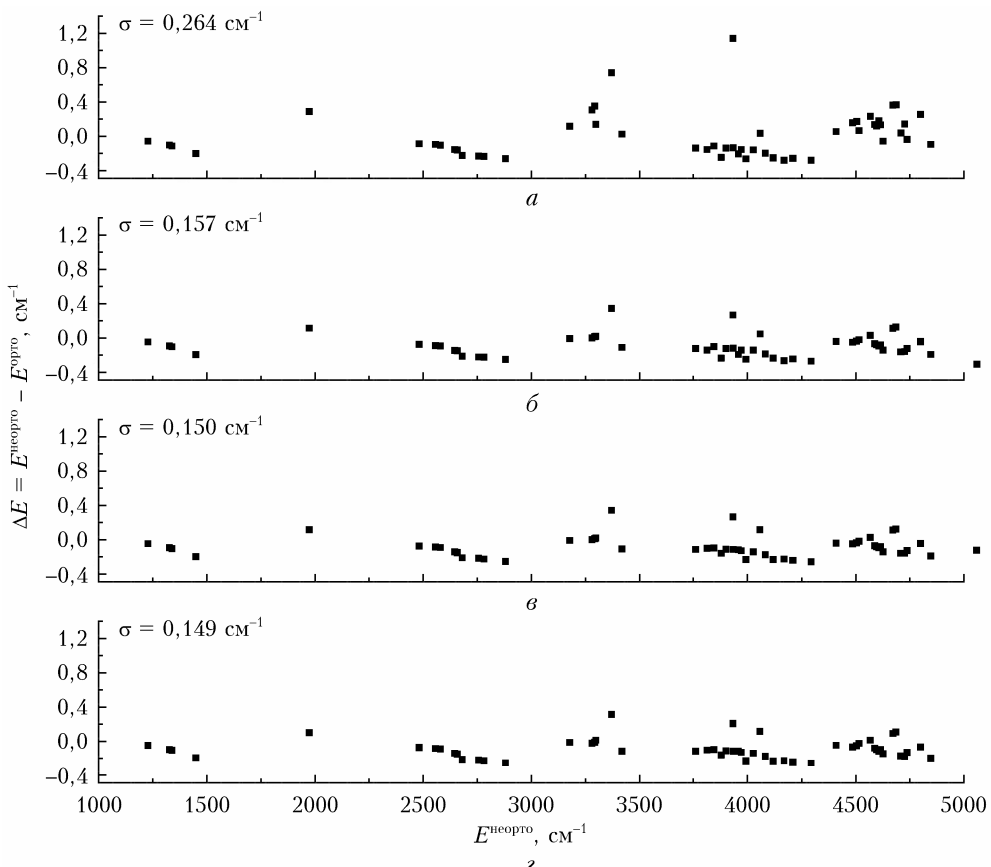


Рис. 1. Зависимость сходимости расчетов от размера базиса для низких колебательных уровней энергии молекулы  $^{12}\text{C}_2\text{H}_2$ :  $a - l_1 \leq 22, l_2 \leq 22, v_R \leq 5, v_{d_1} \leq 2, v_{d_2} \leq 2$ ;  $b - l_1 \leq 22, l_2 \leq 22, v_R \leq 6, v_{d_1} \leq 3, v_{d_2} \leq 3$ ;  $v - l_1 \leq 28, l_2 \leq 28, v_R \leq 6, v_{d_1} \leq 3, v_{d_2} \leq 3$ ;  $z - l_1 \leq 28, l_2 \leq 28, v_R \leq 7, v_{d_1} \leq 4, v_{d_2} \leq 4$

Наглядно зависимость сходимости от размера базиса представлена на рис. 1.

Из рис. 1 видно, что при увеличении базиса расчеты в ортогональных и неортогональных координатах для большинства рассмотренных уровней сначала сближаются до некоторой величины, но при дальнейшем увеличении базиса меняются мало. При-

чина этого — применение ППЭ, параметризованной в двух различных (ортогональных и неортогональных) координатах, что неизбежно (в силу ограниченности разложений) приводит к различным результатам независимо от размерности базиса. В табл. 2 дано сравнение двух наших расчетов (в ортогональных координатах Якоби и неортогональных)

Таблица 2

**Сравнение результатов расчетов в полисферических неортогональных внутренних координатах и ортогональных координатах (вычисленные  $E^{\text{неорт}}_i$ ,  $E^{\text{орт}}_i$  колебательно-вращательные уровни энергии для  $J = 1$  молекулы  $\text{C}_2\text{H}_2$  и их разность  $\Delta E = E^{\text{неорт}} - E^{\text{орт}}$ )**

Идентификация по [8]	$e/f$	$E^{\text{MARVEL}}, \text{см}^{-1}$ (погрешность)	$l_1 \leq 22, l_2 \leq 22,$ $v_R \leq 5, v_{d_1} \leq 2, v_{d_2} \leq 2$		
			$E^{\text{неорт}}, \text{см}^{-1}$	$E^{\text{орт}}, \text{см}^{-1}$	$\Delta E, \text{см}^{-1}$
$(0\ 0\ 0\ 0^0\ 0^0)^0$	$e$	2,353286(0)	2,353	2,353	0,000
$(0\ 0\ 0\ 1^1\ 0^0)^1$	$e$	614,044355(361)	612,555	612,595	-0,040
$(0\ 0\ 0\ 1^1\ 0^0)^1$	$f$	614,054888(423)	612,565	612,606	-0,040
$(0\ 0\ 0\ 0^0\ 1^1)^1$	$e$	731,506987(299)	731,542	731,623	-0,082
$(0\ 0\ 0\ 0^0\ 1^1)^1$	$f$	731,516374(341)	731,551	731,633	-0,082
$(0\ 0\ 0\ 2^0\ 0^0)^0$	$e$	1232,749162(392)	1230,426	1230,477	-0,051
$(0\ 0\ 0\ 1^1\ 1^{-1})^0$	$e$	1330,434308(279)	1329,306	1329,406	-0,099
$(0\ 0\ 0\ 1^1\ 1^{-1})^0$	$f$	1342,911183(1095)	1341,247	1341,357	-0,110
$(0\ 0\ 0\ 0^0\ 2^0)^0$	$e$	1451,474822(263)	1451,566	1451,767	-0,201
$(0\ 0\ 0\ 3^1\ 0^0)^1$	$e$	1856,947677(1495)	1853,751	1853,801	-0,049
$(0\ 0\ 0\ 3^1\ 0^0)^1$	$f$	1856,968230(1440)	1853,772	1853,822	-0,049
$(0\ 0\ 0\ 2^2\ 1^{-1})^1$	$e$	1942,356142(3287)	1940,080	1940,162	-0,082
$(0\ 0\ 0\ 2^2\ 1^{-1})^1$	$f$	1942,371328(1005)	1940,095	1940,177	-0,082
$(0\ 0\ 0\ 2^0\ 1^1)^1$	$f$	1962,052115(2470)	1959,556	1959,700	-0,143
$(0\ 0\ 0\ 2^0\ 1^1)^1$	$e$	1962,057447(1361)	1959,562	1959,705	-0,143
$(0\ 1\ 0\ 0^0\ 0^0)^0$	$e$	1976,656600(1314)	1976,554	1976,272	0,282
$(0\ 0\ 0\ 1^1\ 2^0)^1$	$e$	2050,232293(998)	2049,465	2049,685	-0,219
$(0\ 0\ 0\ 1^1\ 2^0)^1$	$f$	2050,251456(17321)	2049,484	2049,704	-0,219
$(0\ 0\ 0\ 1^{-1}\ 2^2)^1$	$f$	2068,152962(17321)	2066,482	2066,668	-0,186
$(0\ 0\ 0\ 1^{-1}\ 2^2)^1$	$e$	2068,161538(2652)	2066,491	2066,676	-0,186
$(0\ 0\ 0\ 0^0\ 3^1)^1$	$e$	2171,514343(799)	2171,609	2171,842	-0,233
$(0\ 0\ 0\ 0^0\ 3^1)^1$	$f$	2171,533306(1411)	2171,628	2171,861	-0,233
	$e$	—	2484,405	2484,482	-0,077
$(0\ 0\ 0\ 3^1\ 1^{-1})^0$	$e$	2562,961453(1000)	2559,993	2560,084	-0,091
$(0\ 1\ 0\ 1^1\ 0^0)^1$	$e$	2575,873197(2000)	2574,187	2574,013	0,174
$(0\ 1\ 0\ 1^1\ 0^0)^1$	$f$	2575,883903(2000)	2574,197	2574,023	0,174
$(0\ 0\ 0\ 3^1\ 1^{-1})^0$	$f$	2586,208355(180000)	2582,876	2582,972	-0,096

нескольких нижних колебательно-вращательных уровней молекулы  $^{12}\text{C}_2\text{H}_2$  с эмпирическими значениями, приведенными в работе [8]. Эмпирические уровни энергии [8] получены из обработки спектров методом эффективного гамильтониана (см., например, [9, 10]). Более полный набор ссылок в работах [8–10].

За начало отсчета колебательно-вращательных уровней энергии принята энергия нулевых колебаний молекулы. Сравнение позволяет сделать вывод о правильности полученных выражений для оператора кинетической энергии молекулы типа  $\text{A}_2\text{B}_2$  в полисферических неортогональных внутренних координатах. В расчетах использовалась ППЭ ацетилена из нашей работы [7]. Заметим, что наш подход лучше адаптирован для изучения нежестких молекул и высоковозбужденных состояний, чем основанный на нормальных координатах подход, предлагаемый, например, в [11]. Это обусловлено, в частности, отсутствием необходимости точного определения ориентации молекулы [12].

## Заключение

Получена симметричная форма записи неортогональной части оператора кинетической энергии для симметричных линейных молекул типа  $\text{A}_2\text{B}_2$

в полисферических неортогональных внутренних координатах и представлено ее действие на угловой базис (6), инвариантный при инверсии пространства относительно начала координат МФС. Данная статья является продолжением работы [1], в которой рассматривалась ортогональная часть оператора кинетической энергии молекул типа  $\text{A}_2\text{B}_2$  и ее действие на введенные базисные волновые функции (5) и (6). Как и прежде, для приведенного углового базиса очень просто сделать контракцию волновых функций [1]. Для проверки полученных формул нами были проведены расчеты нижних колебательно-вращательных уровней энергии молекулы ацетилена. Использование оператора кинетической энергии во внутренних полисферических неортогональных координатах существенно упростит расчеты интенсивности спектральных линий колебательно-вращательных спектров симметричных линейных молекул типа  $\text{A}_2\text{B}_2$  по сравнению с использованием ортогональных координат в силу того, что поверхность дипольного момента молекулы естественным образом представлена только во внутренних координатах (неортогональных). Кроме того, применение неортогональных координат позволит вычислить спектры более сложных линейных четырехатомных молекул.

**Финансирование.** Работа выполнена в рамках государственного задания ИОА СО РАН.

## Приложение

Матричные элементы от входящих в выражение (3) операторов по базисным волновым функциям (6) выражаются следующими формулами:

$$\langle J', M', l'_1, m'_1, l'_2, m'_2 | \sin \theta_j e^{\pm i \varphi_j} \hat{J}^\pm | J, M, l_1, m_1, l_2, m_2 \rangle = \Lambda_{J, m_1 + m_2}^\pm \delta_{J'J} \delta_{M'M} \delta_{l_k l_k} \delta_{m'_j, m_j \pm 1} \delta_{m'_k m_k} I_{l_j, l'_j, m_j}^\pm \quad (j, k = 1, 2; k \neq j), \quad (\text{П1})$$

$$\langle J', M', l'_1, m'_1, l'_2, m'_2 | \sin \theta_j e^{\pm i \varphi_j} \hat{l}_{jz} \hat{J}^\pm | J, M, l_1, m_1, l_2, m_2 \rangle = \hbar m_j \langle J', M', l'_1, m'_1, l'_2, m'_2 | \sin \theta_j e^{\pm i \varphi_j} \hat{J}^\pm | J, M, l_1, m_1, l_2, m_2 \rangle \quad (j = 1, 2), \quad (\text{П2})$$

$$\langle J', M', l'_1, m'_1, l'_2, m'_2 | \sin \theta_j e^{\mp i \varphi_j} \hat{l}_k^\pm | J, M, l_1, m_1, l_2, m_2 \rangle = \Lambda_{l_k, m_k}^\pm \delta_{J'J} \delta_{M'M} \delta_{l_k l_k} \delta_{m'_j, m_j \mp 1} \delta_{m'_k, m_k \pm 1} I_{l_j, l'_j, m_j}^\mp \quad (j, k = 1, 2; k \neq j), \quad (\text{П3})$$

$$\langle J', M', l'_1, m'_1, l'_2, m'_2 | \sin \theta_j e^{\mp i \varphi_j} \hat{l}_{jz} \hat{l}_k^\pm | J, M, l_1, m_1, l_2, m_2 \rangle = \hbar m_j \langle J', M', l'_1, m'_1, l'_2, m'_2 | \sin \theta_j e^{\mp i \varphi_j} \hat{l}_k^\pm | J, M, l_1, m_1, l_2, m_2 \rangle \quad (j, k = 1, 2; k \neq j), \quad (\text{П4})$$

$$\langle J', M', l'_1, m'_1, l'_2, m'_2 | \sin \theta_j e^{\mp i \varphi_j} \hat{l}_j^\pm | J, M, l_1, m_1, l_2, m_2 \rangle = \Lambda_{l_j, m_j}^\pm \delta_{J'J} \delta_{M'M} \delta_{l_k l_k} \delta_{m'_j, m_j} \delta_{m'_k m_k} I_{l_j, l_j, m_j}^\pm \quad (j, k = 1, 2; k \neq j), \quad (\text{П5})$$

$$\langle J', M', l'_1, m'_1, l'_2, m'_2 | \sin \theta_j e^{\mp i \varphi_j} \hat{l}_{jz} \hat{l}_j^\pm | J, M, l_1, m_1, l_2, m_2 \rangle = \hbar (m_j \pm 1) \langle J', M', l'_1, m'_1, l'_2, m'_2 | \sin \theta_j e^{\mp i \varphi_j} \hat{l}_j^\pm | J, M, l_1, m_1, l_2, m_2 \rangle \quad (j = 1, 2), \quad (\text{П6})$$

где  $\delta_{nm}$  —  $\delta$ -символ Кронекера,

$$\begin{aligned} \Lambda_{l, m}^\pm &= \hbar \sqrt{l(l+1) - m(m \pm 1)}, \\ I_{l', l, m}^\pm &\equiv 2\pi \int_0^\pi Y_{l'm}(\theta, 0) Y_{l, m \pm 1}(\theta, 0) \sin^2 \theta d\theta, \\ I_{l', l, m}^+ &= \sqrt{\frac{(l-m)(l-m+1)}{(2l+1)(2l+3)}} \delta_{l', l+1} - \sqrt{\frac{(l+m)(l+m+1)}{(2l-1)(2l+1)}} \delta_{l', l-1}, \quad |m| \leq l', \quad |m+1| \leq l, \\ I_{l', l, m}^- &= -\sqrt{\frac{(l+m)(l+m+1)}{(2l+1)(2l+3)}} \delta_{l', l+1} + \sqrt{\frac{(l-m)(l-m+1)}{(2l-1)(2l+1)}} \delta_{l', l-1}, \quad |m| \leq l', \quad |m-1| \leq l. \end{aligned}$$

Заметим, что четные формулы (П2), (П4), (П6) получаются тривиально из формул (П1), (П3), (П5) соответственно.

Входящий в формулу (4) член  $\hbar \sin \theta_j \frac{\partial}{\partial \theta_j}$  можно представить в виде

$$\hbar \sin \theta_j \frac{\partial}{\partial \theta_j} = \frac{1}{2} \sin \theta_j (e^{-i \varphi_j} \hat{l}_j^+ - e^{i \varphi_j} \hat{l}_j^-) \quad (j = 1, 2). \quad (\text{П7})$$

Матричные элементы от оператора (П7) по волновым функциям (6) выражаются через матричные элементы, представленные в формуле (П1). Альтернативное выражение может быть получено из [6. С. 129; формула (6)]. Действие входящих в формулу (4) операторов  $\hbar \cos \theta_j$  на волновые функции (6) очевидно (см. [6]) и здесь не приводится.

Матричные элементы от операторов (3) и (4) по симметризованным по четности базисным волновым функциям (7) выражаются явно через следующие матричные элементы:

$$\begin{aligned} \langle J', M', p', l'_1, m'_1, l'_2, m'_2 | \sin \theta_j (e^{-i \varphi_j} \hat{l}_{jz} \hat{J}^- + e^{i \varphi_j} \hat{l}_{jz} \hat{J}^+) | J, M, p, l_1, m_1, l_2, m_2 \rangle &= 2N_{m'_1 m'_2} N_{m_1 m_2} \delta_{J'J} \delta_{M'M} \delta_{p'p} \delta_{l_k l_k} \times \\ &\times \hbar m_j (\Lambda_{J, m_1 + m_2}^- \delta_{m'_j, m_j - 1} \delta_{m'_k, m_k} I_{l_j, l_j, m'_j}^+ + \Lambda_{J, m_1 + m_2}^+ \delta_{m'_j, m_j + 1} \delta_{m'_k, m_k} I_{l_j, l_j, m'_j}^- - \\ &- (-1)^{J+p} (\Lambda_{J, m_1 + m_2}^- \delta_{m'_j, -m_j + 1} \delta_{m'_k, -m_k} I_{l_j, l_j, m'_j}^- + \Lambda_{J, m_1 + m_2}^+ \delta_{m'_j, -m_j - 1} \delta_{m'_k, -m_k} I_{l_j, l_j, m'_j}^+)) \quad (j, k = 1, 2; k \neq j), \quad (\text{П8}) \\ \langle J', M', p', l'_1, m'_1, l'_2, m'_2 | \sin \theta_j (e^{-i \varphi_j} \hat{J}^- - e^{i \varphi_j} \hat{J}^+) | J, M, p, l_1, m_1, l_2, m_2 \rangle &= 2N_{m'_1 m'_2} N_{m_1 m_2} \delta_{J'J} \delta_{M'M} \delta_{p'p} \delta_{l'_k l_k} \times \\ &\times (\Lambda_{J, m_1 + m_2}^- \delta_{m'_j, m_j - 1} \delta_{m'_k, m_k} I_{l'_j, l_j, m'_j}^+ - \Lambda_{J, m_1 + m_2}^+ \delta_{m'_j, m_j + 1} \delta_{m'_k, m_k} I_{l'_j, l_j, m'_j}^- - \end{aligned}$$

$$-(-1)^{J+p}(\Lambda_{J,m_1+m_2}^-\delta_{m'_j,-m_j+1}\delta_{m'_k,-m_k}I_{l'_j,l_j,m'_j}^- - \Lambda_{J,m_1+m_2}^+\delta_{m'_j,-m_j-1}\delta_{m'_k,-m_k}I_{l'_j,l_j,m'_j}^+) \quad (j, k = 1, 2; k \neq j), \quad (\text{П19})$$

$$\langle J', M', p', l'_1, m'_1, l'_2, m'_2 | \sin\theta_j (e^{-i\varphi_j} \hat{l}_{jz} \hat{l}_k^+ + e^{i\varphi_j} \hat{l}_{jz} \hat{l}_k^-) | J, M, p, l_1, m_1, l_2, m_2 \rangle = 2N_{m'_1 m'_2} N_{m_1 m_2} \delta_{J'J} \delta_{M'M} \delta_{p'p} \delta_{l'_k l_k} \times \\ \times \hbar m_j (\Lambda_{l_k, m_k}^- \delta_{m'_j, m_j+1} \delta_{m'_k, m_k-1} I_{l'_j, l_j, m'_j}^- + \Lambda_{l_k, m_k}^+ \delta_{m'_j, m_j-1} \delta_{m'_k, m_k+1} I_{l'_j, l_j, m'_j}^+ -$$

$$-(-1)^{J+p}(\Lambda_{l_k, m_k}^- \delta_{m'_j, -m_j-1} \delta_{m'_k, -m_k+1} I_{l'_j, l_j, m'_j}^+ + \Lambda_{l_k, m_k}^+ \delta_{m'_j, -m_j+1} \delta_{m'_k, -m_k-1} I_{l'_j, l_j, m'_j}^-) \quad (j, k = 1, 2; k \neq j), \quad (\text{П10})$$

$$\langle J', M', p', l'_1, m'_1, l'_2, m'_2 | \sin\theta_j (e^{-i\varphi_j} \hat{l}_k^+ - e^{i\varphi_j} \hat{l}_k^-) | J, M, p, l_1, m_1, l_2, m_2 \rangle = -2N_{m'_1 m'_2} N_{m_1 m_2} \delta_{J'J} \delta_{M'M} \delta_{p'p} \delta_{l'_k l_k} \times \\ \times (\Lambda_{l_k, m_k}^- \delta_{m'_j, m_j+1} \delta_{m'_k, m_k-1} I_{l'_j, l_j, m'_j}^- - \Lambda_{l_k, m_k}^+ \delta_{m'_j, m_j-1} \delta_{m'_k, m_k+1} I_{l'_j, l_j, m'_j}^+ -$$

$$-(-1)^{J+p}(\Lambda_{l_k, m_k}^- \delta_{m'_j, -m_j-1} \delta_{m'_k, -m_k+1} I_{l'_j, l_j, m'_j}^+ - \Lambda_{l_k, m_k}^+ \delta_{m'_j, -m_j+1} \delta_{m'_k, -m_k-1} I_{l'_j, l_j, m'_j}^-) \quad (j, k = 1, 2; k \neq j), \quad (\text{П11})$$

$$\langle J', M', p', l'_1, m'_1, l'_2, m'_2 | \sin\theta_j (e^{-i\varphi_j} \hat{l}_{jz} \hat{l}_k^+ + e^{i\varphi_j} \hat{l}_{jz} \hat{l}_k^-) | J, M, p, l_1, m_1, l_2, m_2 \rangle = 2N_{m'_1 m'_2} N_{m_1 m_2} \delta_{J'J} \delta_{M'M} \delta_{p'p} \delta_{l'_k l_k} \times \\ \times (\hbar(m_j - 1) \Lambda_{l_j, m_j}^- \delta_{m'_j, m_j} \delta_{m'_k, m_k} I_{l'_j, l_j, m'_j}^- + \hbar(m_j + 1) \Lambda_{l_j, m_j}^+ \delta_{m'_j, m_j} \delta_{m'_k, m_k} I_{l'_j, l_j, m'_j}^+ -$$

$$-(-1)^{J+p}(\hbar(m_j - 1) \Lambda_{l_j, m_j}^- \delta_{m'_j, -m_j} \delta_{m'_k, -m_k} I_{l'_j, l_j, m'_j}^+ + \hbar(m_j + 1) \Lambda_{l_j, m_j}^+ \delta_{m'_j, -m_j} \delta_{m'_k, -m_k} I_{l'_j, l_j, m'_j}^-) \quad (j, k = 1, 2; k \neq j), \quad (\text{П12})$$

$$\langle J', M', p', l'_1, m'_1, l'_2, m'_2 | \sin\theta_j (e^{-i\varphi_j} \hat{l}_j^+ - e^{i\varphi_j} \hat{l}_j^-) | J, M, p, l_1, m_1, l_2, m_2 \rangle = -2N_{m'_1 m'_2} N_{m_1 m_2} \delta_{J'J} \delta_{M'M} \delta_{p'p} \delta_{l'_k l_k} \times \\ \times (\Lambda_{l_j, m_j}^- \delta_{m'_j, m_j} \delta_{m'_k, m_k} I_{l'_j, l_j, m'_j}^- - \Lambda_{l_j, m_j}^+ \delta_{m'_j, m_j} \delta_{m'_k, m_k} I_{l'_j, l_j, m'_j}^+ -$$

$$-(-1)^{J+p}(\Lambda_{l_j, m_j}^- \delta_{m'_j, -m_j} \delta_{m'_k, -m_k} I_{l'_j, l_j, m'_j}^+ - \Lambda_{l_j, m_j}^+ \delta_{m'_j, -m_j} \delta_{m'_k, -m_k} I_{l'_j, l_j, m'_j}^-) \quad (j, k = 1, 2; k \neq j), \quad (\text{П13})$$

и с учетом формул (9) и (10).

## Список литературы

1. Протасевич А.Е., Никитин А.В. Оператор кинетической энергии для линейных симметричных молекул типа A<sub>2</sub>B<sub>2</sub> в полисферических ортогональных координатах // Оптика атмосф. и океана. 2021. Т. 34, № 11. С. 860–864; Protasevich A.E., Nikitin A.V. Kinetic energy operator of linear symmetric molecules of the A<sub>2</sub>B<sub>2</sub> type in polyspherical orthogonal coordinates region // Atmos. Ocean. Opt. 2022. V. 35, N 1. P. 14–18.
2. Corwell S.M., Handy N.C. The derivation of vibration-rotation kinetic energy operators in internal coordinates. II // Mol. Phys. 1997. V. 92, N 2. P. 317–330.
3. Urru A., Kozin I.N., Mulas G., Braams B.J., Tennyson J. Ro-vibrational spectra of C<sub>2</sub>H<sub>2</sub> based on vibrational nuclear motion calculations // Mol. Phys. 2010. V. 108, N 15. P. 1973–1990.
4. Mladenović M. Rovibrational Hamiltonians for general polyatomic molecules in spherical polar parametrization. II. Nonorthogonal descriptions of internal molecular geometry // J. Chem. Phys. 2000. V. 112, N 3. P. 1082–1095.
5. Mladenović M. Rovibrational Hamiltonians for general polyatomic molecules in spherical polar parametrization. I. Orthogonal representations // J. Chem. Phys. 2000. V. 112, N 3. P. 1070–1081.
6. Варшалович Д.А., Москалев А.Н., Херсонский В.К. Квантовая теория углового момента. Л.: Наука, 1975. 439 с.
7. Nikitin A.V., Protasevich A.E., Rodina A.A., Rey M., Tjati A., Tyuterev V.G. Ro-vibrational levels and their (*e*–*f*) splitting of acetylene molecule calculated from new potential energy surfaces // J. Quant. Spectrosc. Radiat. Transfer. 2022. V. 292. P. 108349.
8. Chubb K.L., Joseph M., Franklin J., Choudhury N., Furtenbacher T., Császár A.G., Gaspard G., Oguoko P., Kelly A., Yurchenko S.N., Tennyson J., Sousa-Silva C. MARVEL analysis of the measured high-resolution rovibrational spectra of C<sub>2</sub>H<sub>2</sub> // J. Quant. Spectrosc. Radiat. Transfer. 2018. V. 204. P. 42–55.
9. Herman M., Campargue A., El Idrissi M.I., Vander Auwera J. Vibrational spectroscopic database on acetylene, X̄<sup>1</sup>S<sub>g</sub><sup>+</sup> (C<sub>2</sub>H<sub>2</sub>, C<sub>2</sub>D<sub>2</sub>, and C<sub>2</sub>H<sub>2</sub>) // J. Phys. Chem. Ref. Data 2003. V. 32, N 3. P. 921–1361.
10. Lyulin O.M., Perevalov V.I. ASD-1000: High-resolution, high-temperature acetylene spectroscopic databank // J. Quant. Spectrosc. Radiat. Transfer. 2017. V. 201. P. 94–103.
11. Chubb K.L., Yachmenev A., Tennyson J., Yurchenko S.N. Treating linear molecule HCCH in calculations of rotation-vibration spectra // J. Chem. Phys. 2018. V. 149, N 1. P. 014101.
12. Mellor T.M. Molecular frames for a symmetry-adapted rotational basis set // Mol. Phys. 2022. V. 120. P. e2118638.

A.E. Protasevich, A.V. Nikitin. Kinetic energy operator for linear A<sub>2</sub>B<sub>2</sub> type molecules in polyspherical non-orthogonal internal coordinates.

The form of the vibrational-rotational operator of kinetic energy for linear symmetric molecules of the A<sub>2</sub>B<sub>2</sub> type in polyspherical non-orthogonal internal (bond lengths and angles between bonds) coordinates is obtained. Non-orthogonal coordinates have advantages in calculating the wave functions of heavy linear molecules, for example, C<sub>2</sub>F<sub>2</sub> and C<sub>2</sub>Cl<sub>2</sub> and simplify the calculation of the intensity of the lines of the vibrational-rotational spectra of molecules of this type. This work is a continuation of work [1], in which the form of the kinetic energy operator in orthogonal coordinates was obtained. To verify the expressions derived, the lower vibrational-rotational energy levels of the acetylene molecule are calculated.